

大阪大学工学部 正員 中辻裕二  
大阪大学工学部 正員 稲木 亨

1. まえがき ; 水質の移流分散の解析は一般に Fick 型の保存則に基づくものであり、流速場の特徴には平均操作により分散係数で表現される。したがって、濃度分布は周知のようにガウス分布形状で移流するところだが、流れに死水域が存在し、また流れ場が非一様である場合には濃度分布が歪んだり、あるいは収縮したりすることが観測されており、水質の時間変動を論議する場合には水質がどのようなスケールの流速場（現象を代表する渦の運動）と関連して輸送されるかが重要となる。本論では沿岸海域での堤立て、防波堤の建設に伴うて複断面に発生する死水域が水質の分散過程において貯留・輸送・滞留効果を果たすことに着目して水理実験を行ない、実験結果に基づいて死水域を考慮した移流分散モデルを考案し、その適用性を検討した。

2. 濃度-時間(C-T)曲線と流況特性について ; 実験は水路幅 40 cm, 長さ 13.5 m, 勾配 1/500 の矩形断面水路を用い、長さ 10 cm の水剤石片側に並べることにより発生する死水域の水質捕捉効果を調べた。濃度測定はメケルバイトレットを上流端で瞬間投入した場合のガスレーザー光の断面平均通過率をセレン光電池を用いて水剤設置点より上・下流 2 点 (距離 7 m) で計測した。濃度とムカヒ塗圧 10 ~ 40 ppm の範囲で線型関係にある。

図-1 は C-T 曲線の一例を示したものであり、破線は上流側 C-T 実験値を入力条件として表-1 の実測分散係数を用いた計算結果である。計算曲線は分散効果を受けて分布形状は滑らかであるのにに対し、実測曲線は立ち上がり部では急峻で、また下降部では長く尾を引く、いわゆる tailing 現象を呈している。可なりも、現象的にみれば一旦死水域に捕捉された水質が死水域内の渦の効果により緩やかに循環して時間遅れを有して再び主流域に放出されることから C-T 曲線の歪み・付帯ひみかけ上の分散係数

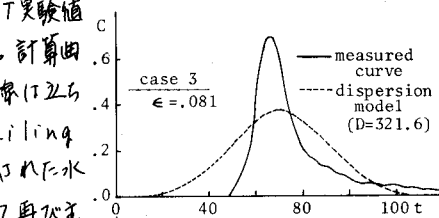


図-1 濃度・時間曲線

の急増大が生じることとなり。死水域の存在する流速場においては従来の分散係数の概念だけでは分散過程を説明し得ないことを示している。表-1, A. Okubo の定義した死水域率  $\epsilon$  と C-T 曲線からモーメント法で求めた分散係数  $D$  との関係を示したものであり、 $\epsilon$  の増大とともにみかけ上の分散係数  $D$  が急増大していることがわかる。また、 $\epsilon$  の値は実測流速分布から求めた Elder, Fischer の分散係数  $D_E, D_F$  に比較して非常に大きい。

つづいて、現象を単純化して長さ  $l$  の水剤を 1 個設置した場合の流況特性が水質分散に与える影響を考える。図-2 は流量  $Q = 2 l/sec$ , 水剤長  $15 cm$  の流況を  $16 mm$  高速カメラより撮影し、その流跡線をドラフターで図化したものである。主流域では水剤の前面約  $4 l$  の地表から流れは緩やかに収縮し始め、水剤下流側約  $4 l$  の地表 A で最大の収縮効果を受けて死水域の最大幅は  $(1.7 \sim 1.9) l$  となる。さらに下流側に進むにつれて流れは横断方向に拡散しながら流動し境界面を横切って死水域に運行される流跡線がみられるが、再接触点 B の位置は  $Q, l$  に無関係に  $(10 \sim 12) l$  である。また、元々より死水域近傍の断面により発生する渦にとり死水域に運行されたフロートは死水域内の循環により逆向きに緩やかに循環し、水剤光端に達した後、その一部は主流域に放ち出される傾向にある。主流域の流況特性を定量的に把握するために、ソフトフィルム流速計により計測した流速分布



図-2 流跡線 ( $Q = 2 l/sec, l = 15 cm, h = 10 cm$ )

から非一様性パラメータ  $r = \int_0^B (\bar{u} - u)^2 dy / \bar{u}^2 B$  を求めたが、その流速変化は 0.1 秒で 4 倍を除いて  $r$  は 0.01 となり大きくなり、横断方向の流速を考慮した二次元的補正を示唆している。つまり、Fischer 流の分散係数  $D_f$  と  $r$  の相関を求めると  $D_f = r^{1.54}$  の関係で表現でき、流れの非一様性の水質分散に及ぼす影響は  $D_f$  で補正できるのである。しかしながら、表-2 に示す実測値  $D$  と比較して  $D_f$  より  $D$  は小さく、横断方向の水質輸送からみて死水域の貯留効果が水質分散に対して支配的に作用していると考えられる。

3. 水質輸送モデルによるシミュレーション： 以上の実験から複雑な流況場における水質輸送モデルの設定に際しては、死水域の規模、渦の運動を考慮する必要があると思われる。モデル化の評価標準は C-T 曲線の再現化にあり、ここで実測流速分布を阻力考慮して C-T から死水域を一種の貯留輸送タンクとみなすモデル化を以下の 5 つの假定に基づいて行なった。

[1] 主流域と死水域を分離し、各々一次元解析可。[2] 流速分布  $\Delta$  補正是横断方向のみかけの対流流速  $V$  で表現可。[3] 亂れによる水質輸送量  $-U' C'$  は対流流速により輸送  $-\beta V C$  と仮定可。[4] 主流域において死水域との流量交換を横流入出とみなし、実測値  $D_m, B_m$  から連続方程式を満たすよう  $C_m$  を決定可。[5] 死水域においては貯留輸送効果に主眼を放ち水深一定として連続性より逆向き流速を算定可。

以上の假定に基づき図-3 に示す理想的な三方向の連続性から式を導出し、基礎式として(1), (2)を得る。ここで運動方程式(1)収支にて満たされていいのが、実測値  $D_m, B_m$  を用いることにより間接的に考慮されていると考える。

$$\left\{ \begin{array}{l} \partial C_m / \partial t + 1/A_m \cdot (D_m A_m C_m) / \partial x - 1/A_m \cdot (A_m D_m \partial C_m) / \partial x = -\beta V / B_m \cdot C_m \quad (\text{for } V \geq 0) \\ \partial C_d / \partial t + \partial (D_d C_d) / \partial x = \beta V / B_d \cdot C_m \quad (\text{for } V \geq 0) \end{array} \right. \quad (1)$$

$$\left\{ \begin{array}{l} \partial C_d / \partial t + \partial (D_d C_d) / \partial x = \beta V / B_d \cdot C_m \quad (\text{for } V < 0) \\ \partial C_d / \partial t + \partial (D_d C_d) / \partial x = \beta V / B_m \cdot C_d \quad (\text{for } V < 0) \end{array} \right. \quad (2)$$

図-4 は流量  $2 l/sec$ , 水利長  $15 cm$  の場合の実測流速分布通り  $V$ ,  $V \cdot D_m + D_f$  を算出して、上流域 C-T 曲線を入力条件とした数値計算例であり、実測値とともに示した。基礎方程式中の  $\beta$  値は境界乱れ幅と主流水域幅との比を示す水質進行係数であり、 $\beta = 0.0$  の場合は Taylor's dispersion model となる。

$\beta$  の増大とともに C-T 曲線の立ち上がり部において (TK 管がみかけ上の対流流速  $V$  により死水域へ輸送される結果、ピーク濃度の若干の減衰がみられるが、下流部の tailing 効果は殆ど見られない)。この原因は死水域を一次元的ではなく向か流域と仮定した結果、実測値に比較して水質の死水域滞留時間が短かくなり滞留効果を及ぼさないからであろう。同時に Hay's モデルによる計算結果を鏡像により示した。このモデルは死水域の貯留効果のみに着目して濃度差に比例した水質交換を考慮したものであり、これは混合速度を摩擦速度  $D_m$  で表現するパラメーター ( $\alpha = \alpha(D_m)$ ) である。C-T 曲線立ち上り部においては濃度に比例した減衰からみて下流部においては死水域濃度の混入により tailing 現象を呈するが、ピーク濃度の著しい減衰からみて滞留時間遅れが生じる。いずれのモデルにおいても C-T 曲線の急峻な立ち上がり tailing 現象をシミュレートできないが、この原因は流域端部が多分に三次元的であり横断面内輸送があるのに對し、モデル化では水表面データにより死水域を分離したこと、また横断面急縮部において単位長さ当たりの濃度濃縮効果が C-T 曲線の立ち上りを助長していることにあると考えられる。今後は渦の運動と水質との関連において移流分散を論じたいと考えている。

$h$	0	10	15	$D_m$
$Q = 2$	56.3	100.8	167.6	37.4
$Q = 4$	137.6	180.8	269.2	67.6
$Q = 6$	168.1	306.7	508.3	59.3

where  $d = 10 cm, Q(l/sec), h(m)$

表-2  $Q, h \sim D, D_m$

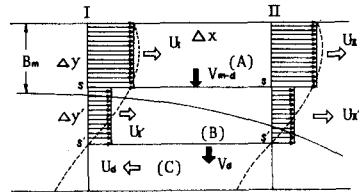


図-3 モデルの概念図

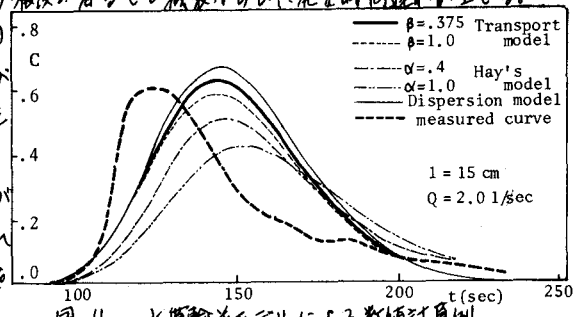


図-4 水質輸送モデルによる数値計算例